

豇豆胰蛋白酶抑制剂cDNA在 大肠杆菌中的克隆与表达

刘春明 朱 祯 周兆斓 孙宝林 李向辉

(中国科学院遗传研究所, 北京 100101)

从即将成熟的豇豆子叶中分离出总RNA, 逆转录合成cDNA第一条链。参照已知的几种Bowman-Birk型胰蛋白酶抑制剂基因序列, 设计并合成了两段寡核苷酸引物, 以单链cDNA为模板, 进行PCR扩增, 得到320bp的均一扩增产物, 克隆到pBluescript SK(+)的EcoRV位点上并转化大肠杆菌JM101。酶切图谱及DNA序列分析表明克隆到的片段含有编码完整80个aa的豇豆胰蛋白酶抑制剂结构基因和一段编码27aa的前导序列。利用限制酶NcoI对其前导序列进行缺失, 只保留成熟蛋白结构基因上游第一个ATG密码子并克隆到大肠杆菌表达载体pKK233-2中进行表达研究, 从转化细菌的提取物中检测到了外源CpTI基因表达产物对胰蛋白酶的抑制活力。

关键词 豇豆胰蛋白酶抑制剂; cDNA; PCR扩增; 基因表达

蛋白酶抑制剂是自然界中含量最为丰富的蛋白种类之一, 近年来发现丝氨酸类蛋白酶抑制剂具有天然的广谱抗虫能力^[1,2], 而受到广泛关注, 成为植物抗虫遗传工程的一个热点。到目前为止, 已有多种蛋白酶抑制剂基因被克隆^[3-6]。其中就植物抗虫的目的而言, 以豇豆来源的胰蛋白酶抑制剂(CpTI)基因最为理想。

CpTI属于Bowman-Birk型丝氨酸蛋白酶抑制剂^[3], 作用位点是胰蛋白酶的活性中心, 其杀虫机理也就在抑制其必需的消化酶活性, 并通过神经系统的反馈, 使害虫产生厌食, 最终使害虫因缺乏必需氨基酸而非正常发育或死亡。以上特点, 决定CpTI具有广谱抗虫性, 并可排除害虫通过突变对CpTI产生耐受性的可能。这两点优越于BT毒蛋白抗虫基因。

本文参照大豆Bowman-Birk型蛋白酶抑制剂基因已知的ATG起始位点^[5], 用PCR方法从豇豆子叶cDNA中扩增并克

隆了所需要的CpTI的cDNA片段, 经进一步修饰后在大肠杆菌中实现表达, 为CpTI基因的深入研究和应用打下了基础。

材料与方法

(一) 材料

1. 菌种及质粒: *E. coli* JM101, JM109由本室保存。pBluescriptSK(+)由微生物所王永力同志提供。pKK233-2购自医学科学院基础所。

2. 生化试剂: 限制酶、修饰酶及Taq DNA polymerase主要为华美公司、Boehringer及Biolabs公司产品。异硫氰酸胍、牛胰蛋白酶及底物BAEE购自Sigma公司。低融点琼脂糖购自Pharmacia公司,³²P-dCTP购自Amersham公司。

3. 植物材料: 豇豆 (*Vigna unguiculata* L.) 购自美国Kmart公司。播种于室外。

本文于1991年11月7日收到。

(二)方法

1. RNA提取: 取即将成熟的豇豆种子在无菌条件下剥出子叶, 于液氮中速冻, 按改进的异硫氰酸胍/氯化铯超离心法^[7]分离总RNA。

2. cDNA合成: 采用Pharmacia-LKB公司的cDNA合成系统, 按说明书进行。

3. PCR扩增: 引物:

P_A : 5'GATGATGGT-
GCTAAAGGTGT3'
 P_B : 3'CCTACTTCTA-
CTACTCATTG5'

用微生物所ABI公司DNA合成仪合成, 产物用聚丙烯酰胺电泳纯化并脱盐, 冷冻干燥保存, 用时稀释到50pmol/ μ l。

以1—10 μ l cDNA为模板, 于100 μ l PCR反应体系, 加入两种引物各50pmol, dNTP各200 μ mol/L, DMSO 4 μ l, 95°C变性5min后加入3u Taq DNA Polymerase, 并覆盖一层液体石蜡。依次在93°C变性1min, 50°C复性1min, 70°C延伸2min。共进行36个循环, 最后在70°C保温10min, 取样10 μ l电泳检测。

4. 质粒提取、纯化、重组及分析、细菌转化: 均参照文献[7,8]。

5. 菌落原位杂交: 参照文献[8]。探针标记采用Pharmacia-LKB公司oligobalting系统, 按厂家推荐条件进行。

6. DNA序列分析: 采用Boehringer Mannheim公司M₁3DNA克隆系统, 首先将CpTI片段亚克隆到M13mp18中, 提取单链DNA, 利用ABI公司370A型DNA顺序仪及荧光标记方法进行序列分析, 方法均采用各公司推荐程序。

7. CpTI活性检测: 待测菌株接种于含50 μ g/ μ l Ap的2×YT培养基中37°C振荡培养过夜, 转接0.5ml至50ml含Ap

的2×YT中, 至对数期加IPTG至1mmol/L, 持续培养8h后, 收集菌体并溶于5ml提取缓冲液(50mmol/L Tris-HCl pH9.5, 1mmol/L DTT)中, 超声波裂解, 离心去沉淀, 上清用饱和(NH₄)₂SO₄沉淀, 溶于5ml提取缓冲液, 对50mmol/L Tris-HCl pH9.5透析, 并用PEG法^[8]浓缩。

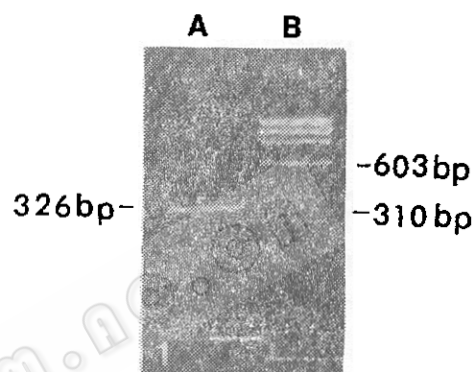


图1 PCR产物分析

Fig.1 Analysis of the PCR products by agarose gel electrophoresis
A. CpTI cDNA amplified products,
B. ϕ X174 + HaeIII

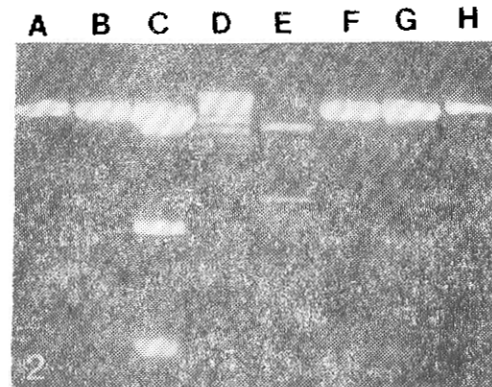


图2 pBlueL3 cDNA克隆片段分析

Fig.2 Agarose gel analysis of the cloned cDNA fragment in pBlueL3
A. pBlueL3 + NcoI; B. pBlueL3 + NcoI + PstI
C. pBlueL3 + SalI + BamHI; D. SppI + EcoRI
E. pBR322 + Hinfl; F. pBlueL3 + EcoRI
G. pBlueL3 + PstI; H. pBlueL3 + EcoRV

10 20 30 40 50 60
 | | | | | |
PstI
 GATGATGGTGCCTAAAGGTGTGTGTGCTGGTACTTTCCCTGTAGGGGTTACTACTGCAGC
 METMETValLeuLysValCysValLeuValLeuPheLeuValGlyValThrThrAlaAla

NcoI 70 80 90 100 110 120
 | | | | | |
 CATGGATCTGAACCACCTCGAAGTAATCATCATGATGACTCAAGCGATGAAACCTCTGA
 ↓
 METAspLeuAsnHisLeuGlySerAsnHisHisAspAspSerSerAspGluProSerGlu

 130 140 150 160 170 180
 | | | | | |
 GTCTTCAGAACCATGCTGCATTGATGCATCTGCACTAAATCAATAACCTCCTCAATGCCA
 SerSerGluProCysCysAspSerCysIleCysThrLysSerIleProProGlnCysHis

 190 200 210 220 230 240
 | | | | | |
EcoRI
 TTGTACAGATATCAGGTGAAATTCTGTGTCACTCGGCTTGCAAATCCTGCATGTGTACACG
 CysThrAspIleArgTrpAsnSerCysHisSerAlaCysLysSerCysMETCysThrArg

 250 260 270 280 290 300
 | | | | | |
 ATCAATGCCAGGCCAAGTGTGCTTGCCCTTGACATTGCTGATTTCTGTTACAACCTTGCAA
 SerMETProGlyLysCysArgCysLeuAspIleAlaAspPheCysTyrLysProCysLys

 310 320
 | |
 GTCCAGGGATGAAGATGATGAGTAAG
 SerArgAspGluAspAsp—

图 3 pBlueL3 中克隆的 CpTI cDNA 碱基序列

Fig. 3 The nucleotide sequence of CpTI cDNA insert in pBlueL3

CpTI活性检测参照文献[9]，取10μl菌体蛋白提取物与1μg胰蛋白酶在25°C保温15min后，加入底物BAEE，利用岛津UV-160分光光度计在254nm处进行时间扫描。

实验结果

(一) 豆豆胰蛋白酶抑制剂cDNA的合成、扩增及克隆

从豇豆即将成熟的子叶中用异硫氰酸胍/CsCl超离心法提取总RNA，取5μg总RNA作模板，以oligo(dT)₁₂₋₁₈为引物，利用Murine反转录酶合成ss-cDNA。酚/氯仿抽提，1/4 v10mmol/L NH₄Ac及2.5v无水乙醇沉淀后，溶于50μl TE中。取10μl ss-cDNA为模板，利用所合成的两个引物在100μl体系中进行PCR扩增。36循环后，取10μl样品用2%的琼脂糖凝胶电泳分析，以ΦX174的HaeⅢ酶解片段为分子量标准，在320bp处有清晰的扩增条带(图1)。由凝胶中纯化出扩增产物，分别用Klenow酶及T4 DNA polymerase补平末端，克隆到pBluescriptSK (+)的EcoRV位点中，转化大肠杆菌JM101。转化子用MacConkey培养基筛选。用Klenow酶及T4 DNA polymerase处理的两组，白色菌落出现频率相似，都接近10%。由Klenow酶处理过的转化子中随机挑选5个菌落快速提质粒酶切鉴定，其中3号与6号为所期望的插入方向。对3号(pBlueL3)做详细的酶切图谱分析(图2)，初步确认插入片段为豇豆胰蛋白酶抑制剂cDNA。

(二) 克隆片段的序列分析

将pBlueL3中的克隆片段用BamHI和SalI切下克隆到M13mp18相应位点。经序列分析，其编码CpTI成熟蛋白的碱基序列与Hilder报道的一致，前导序列中有一个碱基差异，即倒数第五个三连体密码为CTG，不同于Hilder所报道的TTG，但两者编码的都是亮氨酸(图3)。有趣的是，大豆同源基因的相应位点也是CTG。虽然我们的这一结果经过了反复验证，尚不能排除PCR反应过程中错误掺入的可能。

(三) 豇豆胰蛋白酶抑制剂表达质粒的构建

pBlueL3用NcoI-PstI切下含有编码7aa前导序列及80aa成熟蛋白的CpTI cDNA。低融点琼脂糖电泳回收后，克隆到pKK233-2 NcoI-PstI位点。通过菌落原位杂交及重组质粒的酶切分析，得到CpTI的大肠杆菌表达质粒pKK-CpTIL7。CpTI cDNA位于tac启动子下游，从启动子的SD序列到ATG起始密码间有8个碱基对(图4)。

(四) 豇豆胰蛋白酶抑制剂在大肠杆菌中的表达

将上述表达质粒转化大肠杆菌

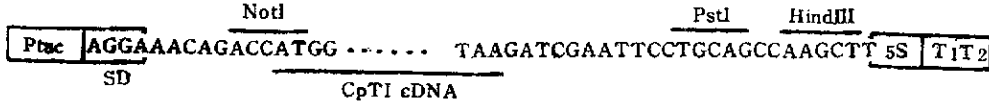


图4 CpTI cDNA在pKK-CpTIL7中的连接顺序

Fig.4 DNA sequence of the CpTI cDNA junction in pKK-CpTIL7

JM109，得到的菌株经37℃培养，IPTG诱导后，超声波裂解、离心，上清液用饱和(NH₄)₂SO₄沉淀。沉淀的菌体蛋白重新溶于提取缓冲液，透析和浓缩后，取样测胰蛋白酶抑制剂活力。其中JM109/pKK-CpTIL7以JM109/pKK233-2为对照，检测到对胰蛋白酶的抑制

活力(图5)。

图5中，A为加入对照JM109/pKK233-2菌体蛋白后的胰蛋白酶活力曲线；B为加入样品JM109/pKK-CpTIL7菌体蛋白后的胰蛋白酶活力曲线。即后一体系中胰蛋白酶对底物BAEE的分解效率明显降低，如果以JM109/pKK233-2为标准，

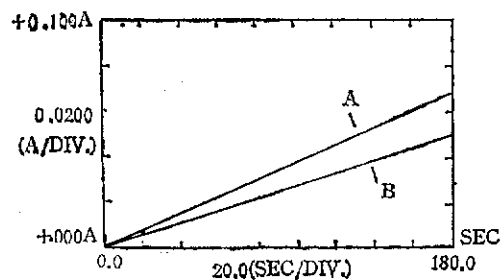


图 5 JM109/pKK-CpTIL7表达产物对胰蛋白酶的抑制作用

Fig.5 The Inhibition of trypsin by the extract of JM109/pKK-CpTIL7

1 0 μ l JM109/pKK-CpTIL7蛋白粗提物(相当于100 μ l菌液)中胰蛋白酶抑制活力为:

$$(\Delta OD_{264} \text{ 标准} - \Delta OD_{264} \text{ 样品})$$

$$/\Delta OD_{264} \text{ 标准} = 26\%$$

讨 论

本文成功地运用RNA-cDNA-PCR方法克隆了豇豆CpTI cDNA, 简化了分离特定cDNA的程序。另外, 在进行PCR扩增同时, 实际上已经对CpTI cDNA序列进行了定点缺失, 去除了部分5'端前导序列及3'端非编码区序列, 说明PCR技术可有效地用于基因的定位缺失研究, 甚至无需经过特定的克隆步骤。

Hilder所报道的CpTI cDNA前导序

列中, 含有几处ATG密码, 其上游的序列都不完全符合通常的植物基因翻译起始区要求^[10], 因此难以确定真正的起始位点及前导序列的功能。本文对其前导序列进行了缺失, 只保留最后一个ATG密码, 构建成pKK-CpTIL7转化E.coli JM109, 其表达产物依然表现出对胰蛋白酶的抑制活力。这一结果符合X-射线衍射方法对Bowman-Birk型抑制剂的分析, 即这类抑制剂的成熟蛋白N末端氨基酸的修饰对抑制剂与胰蛋白酶之间相互作用的影响不大^[11]。

根据胰蛋白酶抑制试验结果, 菌体蛋白所含外源抑制剂活力并不高; 随后以细菌提取物掺入人工饵料进行的抗虫饲喂试验, 其作用也不明显。这一结果是预料之中的, 与BT毒蛋白不同^[12,13], CpTI所需要的抗虫有效浓度较高, 一般表达量要高于0.4%可溶蛋白浓度才具有抗虫作用^[2]; 实验中使用的tac启动子强度不够理想, 因此CpTI基因的转录水平较低; 同时, 细菌转译系统对于变偶密码子的偏爱与真核系统有所不同, 以及作为植物基因的转录和转译产物在原核细胞内不稳定, 都将影响CpTI在细菌细胞内的水平^[6]。但是与BT基因相反, CpTI作为豇豆的一种贮藏蛋白, 在植物细胞内则能够高效表达。目前我们已利用根农杆菌转化系统成功地将该基因导入烟草, 转基因植株表现出明显的抗虫能力^[14]。

参 考 文 献

- [1] Ryan,C., *Bio.Essays*, 10:20—23, 1989.
- [2] Hilder,V.A., *Nature*, 300:160—163, 1987.
- [3] Hilder,V.A., *Plant Mol.Bio.*, 13:701—710, 1989.
- [4] Peyachoknagul,S., *Plant Mol.Bio.*, 12:51—59, 1989.
- [5] Hammand,R.W., *J.Bio.Chem.*, 259:9883—9890, 1984.
- [6] Karl,J.K. et al., *Protein Expression and Purification*, 3:41—49, 1992.
- [7] Ausubel,F.M., *Current Protocols in Molecular Biology*, 1987.
- [8] Maniatis,et al., *Molecular Cloning*(2nd.edition), Cold Spring Harbor Laboratory, gCold Spring Harbor NY, 1989.

- [9] 蒋传葵: 工具酶的活力测定, 上海科技出版社, 1982.
- [10] Lutke HA., EMBO J., 6:43—48, 1987.
- [11] Suzuki A., J. Biochem., 101:267—274, 1987.
- [12] 田颖川等: 生物工程学报, 5(1):11—18, 1989.
- [13] 郭三堆等: 生物工程学报, 7(1):54—61, 1991.
- [14] 刘春明等: 科学通报, 37(18):1425—1428, 1992.

cDNA Cloning and Expression of Cowpea Trypsin Inhibitor in *Escherichia coli*

Liu Chunming Zhu Zhen Zhou Zhaolan Sun Baolin Li Xianghui
(Institute of Genetics, Academia Sinica, Beijing 100101)

Total RNA was isolated from cowpea cotyledons as they were approaching maturity. Single stranded cDNA was synthesized by the reverse transcriptase. A 320bp fragment was amplified and cloned by polymerase chains reaction. DNA sequence analysis indicated that the cloned fragment containing the entire coding sequence for 80aa CpTI mature protein and a 5' coding sequence for 27aa leader. The leader sequence was partially deleted and the remaining CpTI cDNA fragment was cloned into *E.coli* expression vector pKK233-2 to study its expression. The trypsin inhibitor activity was detected in the extracts of transformed bacteria.

Key words Cowpea trypsin inhibitor; cDNA; PCR; gene expression